




哈尔滨工业大学
HARBIN INSTITUTE OF TECHNOLOGY

视听觉信号处理
Visual-Audio Signal Processing
(II. 视觉信号处理部分)



Visual Intelligence Lab
Harbin Institute of Technology





哈尔滨工业大学
HARBIN INSTITUTE OF TECHNOLOGY

3

References

- Digital Picture Processing
 - A.Rosenfeld Academic Press, 1976 / 1982译
- Digital Image Processing
 - R.C.Gonzalez Addison-Wesley, 1977 / 1982译
 - 2nd Edition, 1987 电子工业出版社 2002/2003译
 - 3rd Edition, 2010 电子工业出版社 2010/2011译
- Digital Image Processing
 - Kenneth R. Castleman 1998 Ver.清华大学出版社
 - 1998中文版 朱志刚译 电子工业出版社



 HIT-Visual Intelligence Lab




哈尔滨工业大学
HARBIN INSTITUTE OF TECHNOLOGY


4


The book





R.C.Gonzalez

 HIT-Visual Intelligence Lab




哈尔滨工业大学
HARBIN INSTITUTE OF TECHNOLOGY


5


第二部分——

本部分内容要点 (Key Points in the Chapter) :

- ✍1 空域中图像处理算子 (图像增强)
- ✍2 频域中图像处理算子 (图像增强)
- ✍3 数字图像复原方法



 HIT-Visual Intelligence Lab




哈尔滨工业大学
HARBIN INSTITUTE OF TECHNOLOGY

6

第二部分——

- ✍1 空域中图像处理算子 (图像增强)

 HIT-Visual Intelligence Lab




哈尔滨工业大学
HARBIN INSTITUTE OF TECHNOLOGY

7

平滑 Smoothing



 HIT-Visual Intelligence Lab

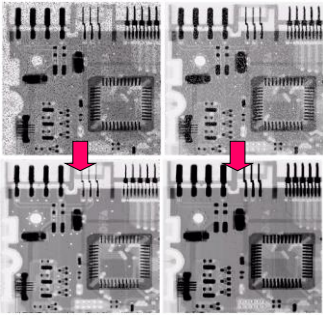



哈尔滨工业大学
HARBIN INSTITUTE OF TECHNOLOGY

8


去噪

Remove Noises





HIT-Visual Intelligence Lab



哈尔滨工业大学
HARBIN INSTITUTE OF TECHNOLOGY


9

边界提取


Extracted Edge



Extracted Edge




HIT-Visual Intelligence Lab



哈尔滨工业大学
HARBIN INSTITUTE OF TECHNOLOGY


10

1 空域中图像处理算子


这部分是图像处理中的**重要环节之一**（**基本内容之一**）。

图像增强是**面向问题**的。（特定的目标，特定的应用，选择特定的方法）

从{
 实际景物——>成像
 图像的一种形式——>另一种形式
}的过程中，**由于设备、信道与客观条件的限制**，使得输出图像的质量有所下降。图像增强技术的**目的是改善图像的质量**，让观察者得到直观、清晰、适合于分析的依据；而在计算机自动景物分析中，采用增强技术作为预处理，预处理的结果将直接影响机器感知和理解景物的成败。



HIT-Visual Intelligence Lab




哈尔滨工业大学
HARBIN INSTITUTE OF TECHNOLOGY

13


1.1. 空域图像基本运算

算术运算（加法、减法、乘法）

逻辑运算（反、与、或、异或）



HIT-Visual Intelligence Lab



哈尔滨工业大学
HARBIN INSTITUTE OF TECHNOLOGY


14

1. 加法运算的定义

$$C(x,y) = A(x,y) + B(x,y)$$

➤主要应用举例

- 去除“叠加性”噪音
- 生成图像叠加效果



HIT-Visual Intelligence Lab



哈尔滨工业大学
HARBIN INSTITUTE OF TECHNOLOGY

16





HIT-Visual Intelligence Lab


17

2. 减法的定义

$$C(x, y) = A(x, y) - B(x, y)$$

➤主要应用举例

- 去除不需要的叠加性图案
- 检测同一场景两幅图像之间的变化
- 计算物体边界的梯度



HIT-Visual Intelligence Lab

18

- 去除不需要的叠加性图案

设：背景图像 $b(x, y)$ ，前景背景混合图像 $f(x, y)$

$$g(x, y) = f(x, y) - b(x, y)$$

$g(x, y)$ 为去除了背景的图像。


电视制作的蓝屏技术就基于此。

HIT-Visual Intelligence Lab

19

- 检测同一场景两幅图像之间的变化

设：时间1的图像为 $T_1(x, y)$ ，
时间2的图像为 $T_2(x, y)$ ，
 $g(x, y) = T_2(x, y) - T_1(x, y)$




HIT-Visual Intelligence Lab

20

- 计算物体边界的梯度

在一幅图像内，寻找边缘时，梯度幅度（描绘变化陡峭程度的量）的近似计算

$$|\Delta f(x, y)| = \max(f(x, y) - f(x+1, y), f(x, y) - f(x, y+1))$$


HIT-Visual Intelligence Lab

21

3. 乘法的定义

$$C(x, y) = A(x, y) \times B(x, y)$$

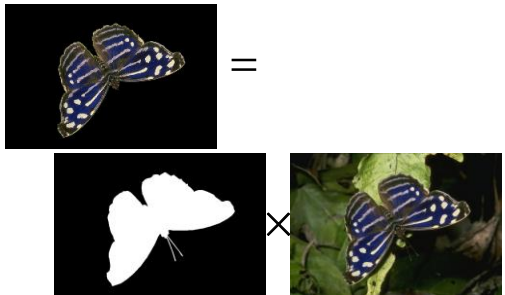
➤主要应用举例

- 图像的局部显示

用二值蒙板图像与原图像做乘法

HIT-Visual Intelligence Lab

22



HIT-Visual Intelligence Lab

哈尔滨工业大学
HARBIN INSTITUTE OF TECHNOLOGY

23

4. 求反的定义

$$g(x, y) = 255 - f(x, y)$$

➤主要应用举例

- 获得一个阴图像
- 获得一个子图像的补图像
- 绘制区别于背景的、可恢复的图形

HIT-Visual Intelligence Lab

哈尔滨工业大学
HARBIN INSTITUTE OF TECHNOLOGY

24

• 获得一个阴图像




HIT-Visual Intelligence Lab

哈尔滨工业大学
HARBIN INSTITUTE OF TECHNOLOGY

25

• 获得一个子图像的补图像

255 -



HIT-Visual Intelligence Lab

哈尔滨工业大学
HARBIN INSTITUTE OF TECHNOLOGY


27

5. 与运算的定义

$$g(x, y) = f(x, y) \wedge h(x, y)$$

➤主要应用举例

- 求两个子图像的相交子图



HIT-Visual Intelligence Lab

哈尔滨工业大学
HARBIN INSTITUTE OF TECHNOLOGY


28

6. 或运算的定义

$$g(x, y) = f(x, y) \vee h(x, y)$$

➤主要应用举例

- 合并子图像



HIT-Visual Intelligence Lab

哈尔滨工业大学
HARBIN INSTITUTE OF TECHNOLOGY

29

7. 异或运算的定义

$$g(x, y) = f(x, y) \oplus h(x, y)$$

➤主要应用举例

- 获得相交子图像
- 绘制区别于背景的、可恢复的图形

HIT-Visual Intelligence Lab

30

• 获得相交子图像

HIT-Visual Intelligence Lab

31

1.2. 空域图像几何变换

- 平移
- 旋转
- 镜像：水平镜像、垂直镜像
- 放缩
- 拉伸

HIT-Visual Intelligence Lab

32

1. 基本几何变换的定义

对于原图像 $f(x, y)$ ，坐标变换函数

$$x' = a(x, y), \quad y' = b(x, y)$$

唯一确定了几何变换：

$$g(x', y') = f(a(x, y), b(x, y));$$

$g(x, y)$ 是目标图像。

值不变，位置变。

HIT-Visual Intelligence Lab

33

2. 平移变换

设： $a(x, y) = x + x_0$; $b(x, y) = y + y_0$;

用齐次矩阵表示：

$$\begin{vmatrix} a(x, y) \\ b(x, y) \\ 1 \end{vmatrix} = \begin{vmatrix} 1 & 0 & x_0 \\ 0 & 1 & y_0 \\ 0 & 0 & 1 \end{vmatrix} \begin{vmatrix} x \\ y \\ 1 \end{vmatrix}$$

HIT-Visual Intelligence Lab

34

3. 旋转变换——绕原点旋转 α 度

设： $a(x, y) = x \cos(\alpha) - y \sin(\alpha)$;

$$b(x, y) = x \sin(\alpha) + y \cos(\alpha);$$

用齐次矩阵表示：

$$\begin{vmatrix} a(x, y) \\ b(x, y) \\ 1 \end{vmatrix} = \begin{vmatrix} \cos(\alpha) & -\sin(\alpha) & 0 \\ \sin(\alpha) & \cos(\alpha) & 0 \\ 0 & 0 & 1 \end{vmatrix} \begin{vmatrix} x \\ y \\ 1 \end{vmatrix}$$

HIT-Visual Intelligence Lab

35

HIT-Visual Intelligence Lab

哈尔滨工业大学
HARBIN INSTITUTE OF TECHNOLOGY

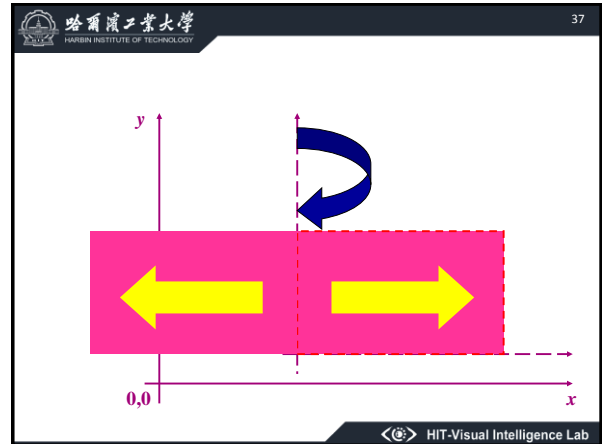
36

4. 水平镜像

设: $a(x, y) = -x$; $b(x, y) = y$;
用齐次矩阵表示:

$$\begin{vmatrix} a(x, y) \\ b(x, y) \\ 1 \end{vmatrix} = \begin{vmatrix} -1 & 0 & 0 \\ 0 & 1 & 0 \\ 0 & 0 & 1 \end{vmatrix} \begin{vmatrix} x \\ y \\ 1 \end{vmatrix}$$

HIT-Visual Intelligence Lab



哈尔滨工业大学
HARBIN INSTITUTE OF TECHNOLOGY

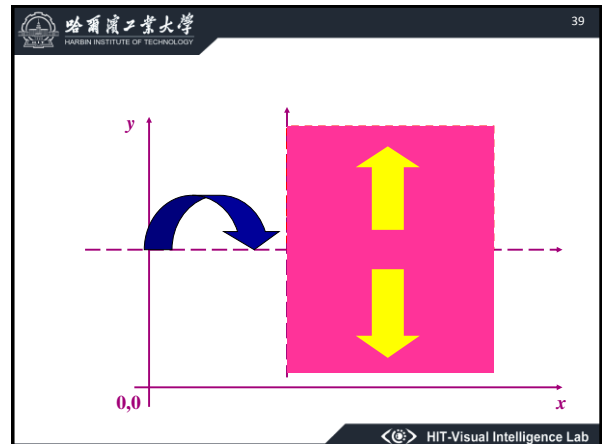
38

5. 垂直镜像

设: $a(x, y) = x$; $b(x, y) = -y$;
用齐次矩阵表示:

$$\begin{vmatrix} a(x, y) \\ b(x, y) \\ 1 \end{vmatrix} = \begin{vmatrix} 1 & 0 & 0 \\ 0 & -1 & 0 \\ 0 & 0 & 1 \end{vmatrix} \begin{vmatrix} x \\ y \\ 1 \end{vmatrix}$$

HIT-Visual Intelligence Lab



哈尔滨工业大学
HARBIN INSTITUTE OF TECHNOLOGY

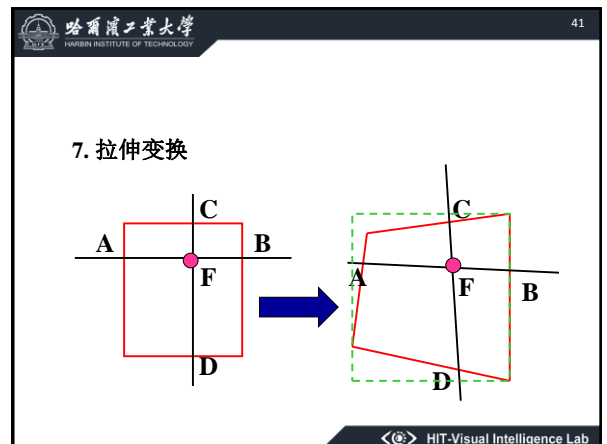
40

6. 放缩变换

x 方向放缩 c 倍, y 方向放缩 d 倍
设: $a(x, y) = c x$, $b(x, y) = d y$
用齐次矩阵表示:

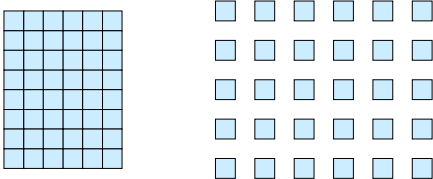
$$\begin{vmatrix} a(x, y) \\ b(x, y) \\ 1 \end{vmatrix} = \begin{vmatrix} c & 0 & 0 \\ 0 & d & 0 \\ 0 & 0 & 1 \end{vmatrix} \begin{vmatrix} x \\ y \\ 1 \end{vmatrix}$$

HIT-Visual Intelligence Lab



43

8. 旋转、放缩、拉伸变换的漏点问题



HIT-Visual Intelligence Lab

44

向前映射算法


$$g(x', y') = f(a(x, y), b(x, y));$$

从原图像坐标计算出目标图像坐标
——镜像、平移变换使用这种计算方法

向后映射算法

$$g(a'(x, y), b'(x, y)) = f(x, y);$$

从结果图像的坐标计算原图像的坐标
——旋转、拉伸、放缩可以使用
解决了漏点的问题，出现了马赛克



HIT-Visual Intelligence Lab

45

灰度级插值

- 最邻近插值法
- 双线性插值（一阶插值）
- 高阶插值

HIT-Visual Intelligence Lab

46

(1) 最邻近插值法

——就是最邻近点复制



HIT-Visual Intelligence Lab

47

(2) 双线性插值（一阶插值）

已知正方形的4个顶点，求正方形内部的点，有双线性方程： $f(x, y) = ax + by + cxy + d$

设4个顶点的坐标为：
 $(x_0, y_0), (x_1, y_0), (x_0, y_1), (x_1, y_1)$

$$f(x, y_0) = f(x_0, y_0) + x[f(x_1, y_0) - f(x_0, y_0)] / (x_1 - x_0)$$

$$f(x, y_1) = f(x_0, y_1) + x[f(x_1, y_1) - f(x_0, y_1)] / (x_1 - x_0)$$

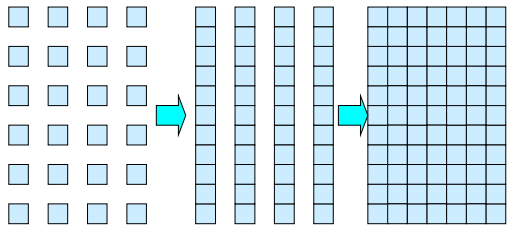
.....

$$f(x, y) = f(x, y_0) + y[f(x, y_1) - f(x, y_0)] / (y_1 - y_0)$$


HIT-Visual Intelligence Lab

48

(2) 双线性插值（一阶插值）



HIT-Visual Intelligence Lab





哈尔滨工业大学
HARBIN INSTITUTE OF TECHNOLOGY

49

(3)高阶插值

- 双线性插值的缺陷
 - 平滑作用使图像细节退化，尤其在放大时
 - 不连续性会产生不希望的结果
- 高阶插值的实现
 - 用三次样条插值
 - 常用卷积来实现
 - 将大大增加计算量

 HIT-Visual Intelligence Lab



哈尔滨工业大学
HARBIN INSTITUTE OF TECHNOLOGY

50

1.3. 空域图像增强算子

扩展对比度的灰度变换


消除噪声的各种平滑算法


增强边缘的各种锐化技术

一. 灰度修正

1. 灰度校正

- 现象：图像灰度与实际景物亮度不匹配
- 原因：场景离光轴的距离不同
摄像管扫描景物的各点灵敏度有差异（不均匀曝光）
- 办法：

 HIT-Visual Intelligence Lab



哈尔滨工业大学
HARBIN INSTITUTE OF TECHNOLOGY

51


$f(x,y)$ ——景物真实灰度, $g(x,y)$ ——取得图像,
 $e(x,y)$ ——采集系统因子。


$$g(x,y) = f(x,y) e(x,y)$$

若有灰度均匀的景物部分 D , $f(x,y) = C$, $(x,y) \in D$
则有 $g_c(x,y) = e(x,y)C \quad \therefore e(x,y) = g_c(x,y)/C$

灰度校正:

$$f(x,y) = C g(x,y)/g_c(x,y)$$

 HIT-Visual Intelligence Lab



哈尔滨工业大学
HARBIN INSTITUTE OF TECHNOLOGY

52

2. 灰度变换

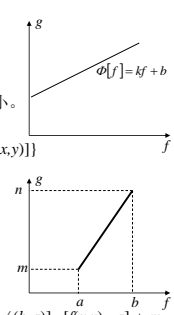
- 现象：整幅图像的灰度变化范围很小。
- 原因：曝光不足。记录装置动态范围过小。
- 办法：点运算（直方图为主要工具）


点对应，映射 $\phi: [g(x,y) = \phi[f(x,y)]]$


(1) 线性映射: $\phi[f] = kf + b$

- $k > 1$, 对比度扩展的增强作用
- $k < 1$, 对比度的压缩作用
- $k = 1, b \neq 0$, 偏亮或偏暗, (灰度值上移或下移)
- $k > 0$ $\begin{cases} \text{暗} \rightarrow \text{亮} \\ \text{亮} \rightarrow \text{暗} \end{cases}$

一般的, $[a,b] \rightarrow [m,n]$, 则 $g(x,y) = [(n-m)/(b-a)] \cdot [f(x,y) - a] + m$.



 HIT-Visual Intelligence Lab

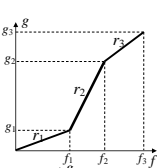


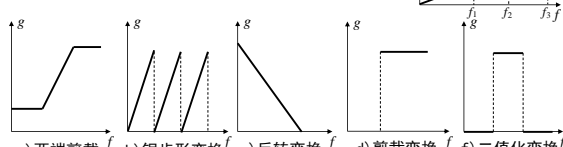
哈尔滨工业大学
HARBIN INSTITUTE OF TECHNOLOGY


53


(2) 分段线性变换:

常分三段:

$$g = \begin{cases} r_1 f + b_1, & r_1 = (g_1 - f_1)/(f_2 - f_1) \\ r_2 f + b_2, & r_2 = (g_2 - g_1)/(f_2 - f_1) \\ r_3 f + b_3, & r_3 = (g_3 - g_2)/(f_3 - f_2) \end{cases}$$


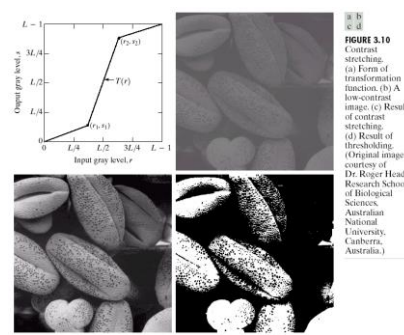



 HIT-Visual Intelligence Lab

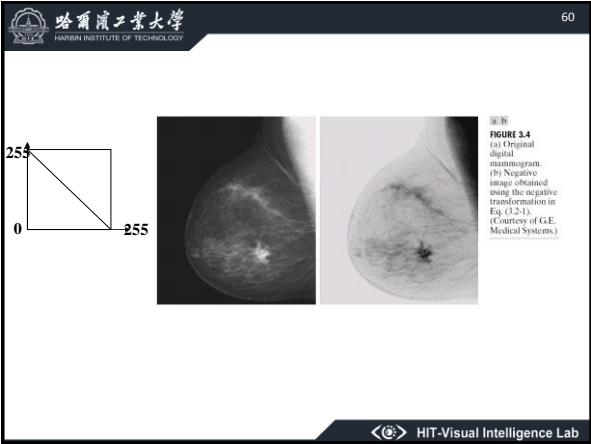
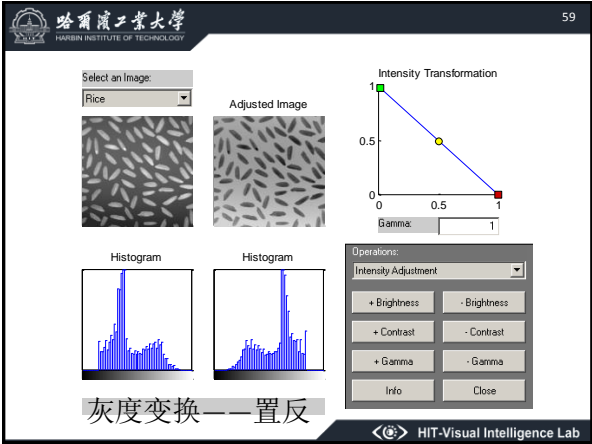
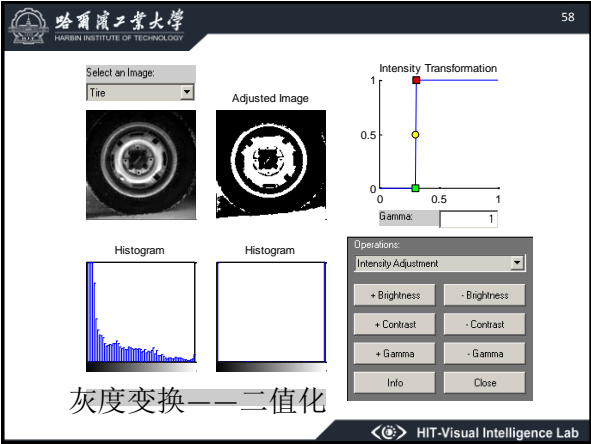
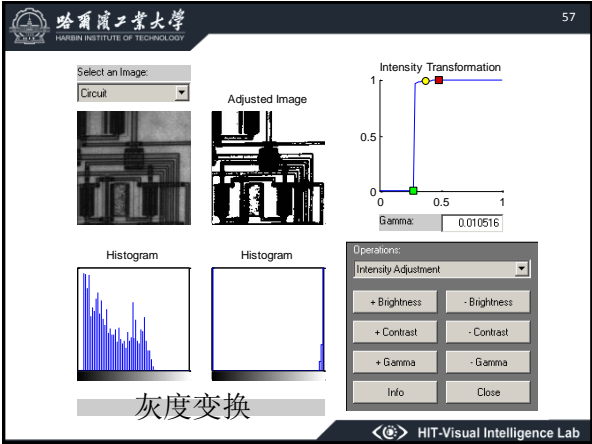
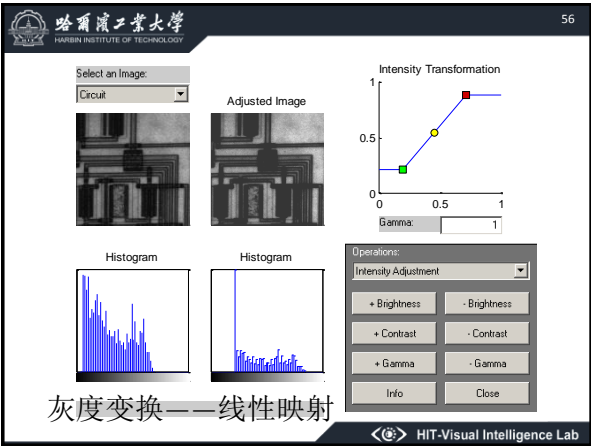
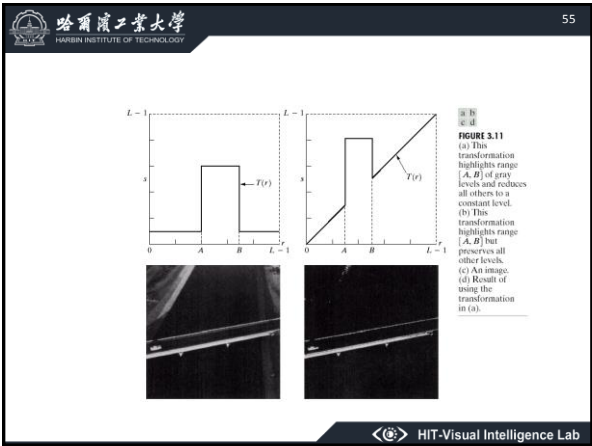



哈尔滨工业大学
HARBIN INSTITUTE OF TECHNOLOGY

54



 HIT-Visual Intelligence Lab





哈尔滨工业大学
HARBIN INSTITUTE OF TECHNOLOGY

62

第二部分——

• 上节课重点内容复习回顾:

✍️ 1 空域中图像处理算子

1.1. 空域图像基本运算

算术运算（加法、减法、乘法）


逻辑运算（反、与、或、异或）


1.2. 空域图像几何变换

平移、旋转、镜像（水平、垂直）、放缩、拉伸

1.3. 空域图像增强算子

（线性、非线性）映射

 HIT-Visual Intelligence Lab



哈尔滨工业大学
HARBIN INSTITUTE OF TECHNOLOGY

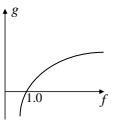
63

(3) 非线性变换:

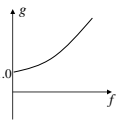
对数变换: $g(x, y) = \log[f(x, y)]$

作用: 扩展 $f(x, y)$ 中低灰度区的对比度, 压缩高灰度值。

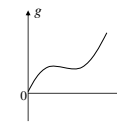
同态滤波: $f(x, y) \rightarrow$ 对数变换 \rightarrow 指数变换。




a) 对数变换




b) 指数变换



c) 非线性变换

 HIT-Visual Intelligence Lab





哈尔滨工业大学
HARBIN INSTITUTE OF TECHNOLOGY

64



FIGURE 4.33 Tonal corrections for flat, light (high key), and dark (low key) color images. Adjusting the red, green, and blue components equally does not alter the image hues.

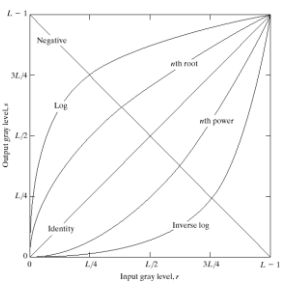
 HIT-Visual Intelligence Lab





哈尔滨工业大学
HARBIN INSTITUTE OF TECHNOLOGY

65

FIGURE 3.3 Some basic gray-level transformation functions used for image enhancement.



 HIT-Visual Intelligence Lab



哈尔滨工业大学
HARBIN INSTITUTE OF TECHNOLOGY

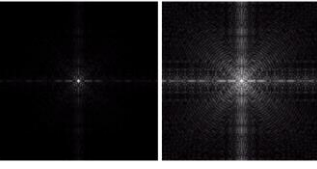
66

灰度变换——对数映射

FIGURE 3.5

(a) Fourier spectrum.


(b) Result of applying the log transformation given in Eq. (3.2-2) with $c = 1$.





$$s = c \log(1+r)$$

A classic example

Spectrum values range from 0 to 10^6 or higher (unusual)

 $\log(1+x)$



 HIT-Visual Intelligence Lab

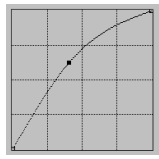


哈尔滨工业大学
HARBIN INSTITUTE OF TECHNOLOGY


67

灰度(彩色)变换——对数映射





对比度拉伸

 HIT-Visual Intelligence Lab

To transform from *HSI* space to *RGB* space:

当 $H \in [0^{\circ}, 120^{\circ}]$

$$B = I(1 - S)$$
$$R = I \left[1 + \frac{S \cos H}{\cos(60^{\circ} - H)} \right]$$
$$G = 3I - (B + R)$$

To transform from *HSI* space to *RGB* space:

当 $H \in [120^{\circ}, 240^{\circ}]$

$$R = I(1 - S)$$
$$G = I \left[1 + \frac{S \cos(H - 120^{\circ})}{\cos(180^{\circ} - H)} \right]$$
$$B = 3I - (R + G)$$

To transform from *HSI* space to *RGB* space:

当 $H \in [240^{\circ}, 360^{\circ}]$

$$G = I(1 - S)$$
$$B = I \left[1 + \frac{S \cos(H - 240^{\circ})}{\cos(300^{\circ} - H)} \right]$$
$$R = 3I - (G + B)$$

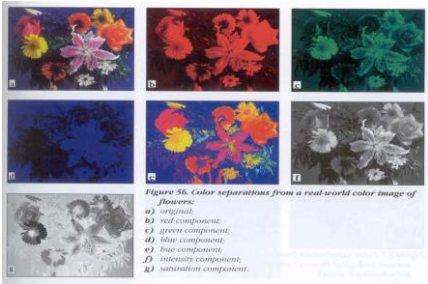


Figure 3.6. Color separations from a real-world color image of flowers:
a) original;
b) red component;
c) green component;
d) blue component;
e) magenta component;
f) intensity component;
g) saturation component.

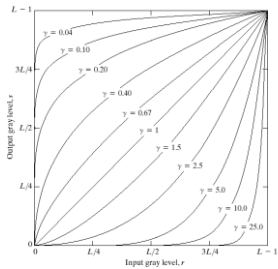
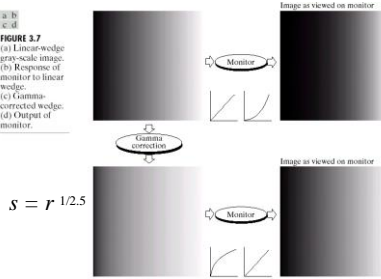


FIGURE 3.6 Plots of the equation $s = cr^\gamma$ for various values of γ ($c = 1$ in all cases).



$$s = r^{1/2.5}$$

CRT:
Intensity-to-voltage response that is a power function, with exponents varying from approximately 1.8 to 2.5

哈爾濱工業大學
HARBIN INSTITUTE OF TECHNOLOGY

80

Select an Image:

Bone Marrow

Adjusted Image

Histogram

Histogram

Intensity Transformation

Gamma: 2.2729

Operations:

Intensity Adjustment

+ Brightness - Brightness

+ Contrast - Contrast

+ Gamma - Gamma

Info Close

灰度变换——指数映射

HIT-Visual Intelligence Lab

哈尔滨工业大学
HARBIN INSTITUTE OF TECHNOLOGY

81

$$\sqrt{s} = r^{0.4}$$

图 3.8

FIGURE 3.8

(a) Magnetic resonance (MR) image of a

fractured human

spine.

(b) All Results of

applying the

reconstruction in

Fig. (3.2-3) with

$\alpha = 1$ and

$\gamma = 0.0, 0.4$, and

0.5 , respectively.

(Original image for

this sample comes

of Dr. David R. Peters,

Department of

Radiology and

Rheumatological

Science,

University of

Manchester

Medical Center.)

$$s = r^{0.6}$$

$$s = r^{0.3}$$

HIT-Visual Intelligence Lab

HARBIN INSTITUTE OF TECHNOLOGY

82

图 2-9

FIGURE 2-9
(a) Aerial image.
(b)-(d) Results of applying the transformation in Eq. (3.2-3) with $c = 1$ and $\varphi = 3.0, 4.0$, and 5.0 , respectively. (Original image for this example courtesy of NASA.)

Figure 2-9 consists of five sub-images labeled (a) through (e). Sub-image (a) is an aerial photograph of a city, showing a grid of streets and buildings. Sub-images (b), (c), and (d) are the results of applying a transformation to the original image (a) for different values of the parameter φ (3.0, 4.0, and 5.0, respectively). The transformed images show the city rotated and warped. Sub-image (e) is a graph showing the transformation parameters (phi, c) for different values of the transformation function. The graph has a horizontal axis labeled 'Transformation' and a vertical axis labeled 'phi'. The curve shows that as the transformation increases, the value of phi also increases, starting from approximately 3.0 and reaching 5.0 at a transformation value of 1.0.

《《》

HIT-Visual Intelligence Lab

哈尔滨工业大学
HARBIN INSTITUTE OF TECHNOLOGY

84

3. 直方图变换 (the gray-level histogram, 灰度直方图)

最简单、最有效的工具之一。(以概率理论作基础的灰度点运算变换)

(1)直方图定义：统计图像中具有某种灰度的像素数目

定义1：灰度级的函数，描述的是图像中具有该灰度级的像素的个数，其中横坐标是灰度级，纵坐标是该灰度级发生的频率。

定义2：假设有一连续图像 $D(x,y)$ ，从中心的高灰度级平滑地变化到边沿的低灰度级。将图像中所有具有灰度值 D_1 的点的集合的轮廓连接起来，使封闭的轮廓线包围了灰度值大于等于 D_1 的所有点的区域。

HIT-Visual Intelligence Lab

哈尔滨工业大学
HARBIN INSTITUTE OF TECHNOLOGY

85

D —— 灰度级

$A(D)$ —— 阈值区域面积函数

直方图的定义：


$$H(D) = \lim_{\Delta D \rightarrow 0} \frac{A(D) - A(D + \Delta D)}{\Delta D} = - \frac{d}{dD} A(D)$$

面积函数相当于累积分布函数，灰度直方图对应着概率密度函数。

对于离散情形： $\Delta D \rightarrow 1$

$$H(D) = A(D) - A(D+1)$$

HIT-Visual Intelligence Lab



哈尔滨工业大学
HARBIN INSTITUTE OF TECHNOLOGY

86

(2)直方图的特性


•对 $H(D) = -\frac{d}{dD} A(D)$ 积分

$$\int_0^{\infty} H(P) dP = -[A(P)]_0^{\infty} = A(D)$$


若图像灰度为非负 (nonnegative) 的, 则图像面积 $-\int_0^{\infty} H(P) dP$

对离散系统,
$$\sum_{D=0}^{255} H(D) = NL \times NS$$

其中NL, NS分别表示行、列数。



HIT-Visual Intelligence Lab



哈尔滨工业大学
HARBIN INSTITUTE OF TECHNOLOGY

87

灰度为 D_1 的单个目标轮廓区域面积= $\int_{D_1}^{\infty} H(D)dD$


•直方可直接定义为每个灰度级所含像素的个数

一个图包含2个不连的区域，已知两个区域的直方图
——全图的直方图等于两者局域直方图之和。


将直方图除以面积进行归一化就形成了概率密度函数 (PDF) —— probability density function $P(f)$

对面积函数进行同样的归一化就产生了累积分布函数 (CDF) —— Cumulative distribution function $C(f)$

——重要的统计特性

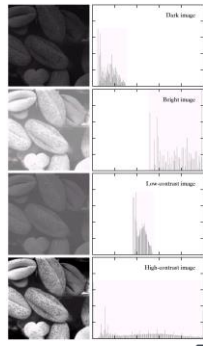



HIT-Visual Intelligence Lab




哈尔滨工业大学
HARBIN INSTITUTE OF TECHNOLOGY

88





HIT-Visual Intelligence Lab



哈尔滨工业大学
HARBIN INSTITUTE OF TECHNOLOGY

89

(3) 直方图的运用


1. 数字化参数——有效的量化间隔

数字图像处理技术：直方图修正中具有最优性质的是直方图均衡。


将图像灰度作归一化处理：原范围 $[r'_{min}, r'_{max}] \rightarrow [0,1]$

线性变换 $r = \frac{r' - r'_{min}}{r'_{max} - r'_{min}}$, $r' \in [r'_{min}, r'_{max}] \rightarrow r \in [0,1]$

图像变换 $\int_0^r P_n(\omega)d\omega$ ，其中 $P_n(\omega)$ 是 r 的分布密度。

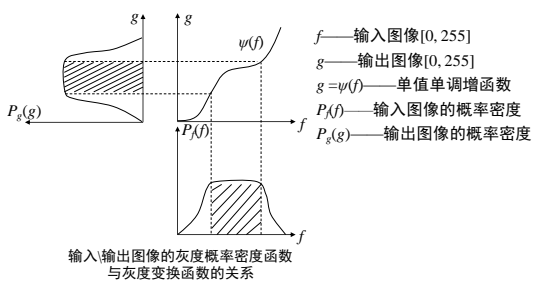



HIT-Visual Intelligence Lab




哈尔滨工业大学
HARBIN INSTITUTE OF TECHNOLOGY

90





HIT-Visual Intelligence Lab



哈尔滨工业大学
HARBIN INSTITUTE OF TECHNOLOGY

91


通过 $g = \varphi(f)$ 的点运算，可分别求出 $f \rightarrow g, f + \Delta f \rightarrow g + \Delta g$.

输入图像落在 $[f, f + \Delta f] \longleftrightarrow$ 输出图像中落在 $[g, g + \Delta g]$,


即 $\int_g^{g+\Delta g} P_g(\omega)d\omega = \int_f^{f+\Delta f} P_f(\omega)d\omega$ ， ω 是虚设积分变量

一般地

$\int_{g_{min}}^g P_g(\omega)d\omega = \int_{f_{min}}^f P_f(\omega)d\omega = C(f)$ 累积分布函数



HIT-Visual Intelligence Lab



哈尔滨工业大学
HARBIN INSTITUTE OF TECHNOLOGY

92

设具有 n 级灰度的图像，其第 k 级灰度出现的概率为 P_k ，则它包含的信息量为

$I(k) = \log_a \frac{1}{P_k} = -\log_a P_k$

整幅图像的信息熵为


$H = E\{I(k)\} = -\sum_{k=1}^n P_k \log_a P_k$

可以证明：**具有平坦分布(平坦直方图)的图像，其信息量H最大。**


也就是说，如果 $P_1 = P_2 = \dots = P_n = 1/n$ ，则 $H = \max$.

变换后的图像在 $[0,1]$ 均匀分布（若随机变量 x 的分布函数 $F(x)$ 是连续的，那么统计量 $F(x)$ 在 $[0,1]$ 均匀分布）

——直方图均衡 histogram equalization



HIT-Visual Intelligence Lab





哈尔滨工业大学
HARBIN INSTITUTE OF TECHNOLOGY

93

若期望输出图像概率密度是均匀分布的, uniform

$$P_g(g) = \frac{1}{g_{\max} - g_{\min}}$$
$$\int_{g_{\min}}^g \frac{1}{g_{\max} - g_{\min}} d\omega = C(f)$$
$$\frac{1}{g_{\max} - g_{\min}} (g - g_{\min}) = C(f)$$
$$\therefore g = [g_{\max} - g_{\min}]C(f) + g_{\min}$$

 HIT-Visual Intelligence Lab



哈尔滨工业大学
HARBIN INSTITUTE OF TECHNOLOGY

94


连续图——概率密度描述
离散图——概率分布/直方图描述


↑ 连续随机变量概率密度的近似

输入图像累积分布函数 $C(f)$ —— 累加直方图函数来近似

$$C(f) = \sum_{j=0}^k P_f(f_j), j = 0, 1, \dots, k, \dots, L-1$$

L 为灰度级数目。

 HIT-Visual Intelligence Lab





哈尔滨工业大学
HARBIN INSTITUTE OF TECHNOLOGY

95

直方图均衡的步骤: **Histogram Equalization**

- 1° 统计原始图像各灰度级的像素数目 $n_j, j = 0, 1, \dots, k, \dots, L-1$
- 2° 作灰度分布直方图 $P_f(f_j) = n_j / n, n$ 为图像的总像素数
- 3° 计算累积分布函数 $C(f) = \sum_{j=0}^k P_f(f_j) = T(r_k)$
- 4° 计算映射后的 $g_j = \lfloor (g_{\max} - g_{\min})C(f) + g_{\min} + 0.5 \rfloor$
- 5° 统计映射后各灰度级的像素数目 $n_i, i = 0, 1, \dots, P-1$
- 6° 计算输出图像直方图 $P_g(g_i) = n_i / n, i = 0, 1, \dots, P-1$
- 7° 用 f_j 和 g_i 的映射关系, 修改原始图像的灰度级, 获得直方图近似均匀的输出图像

 HIT-Visual Intelligence Lab





哈尔滨工业大学
HARBIN INSTITUTE OF TECHNOLOGY

96

例: 64×64 8个灰度量化级

	0	1	2	3	4	5	6	7	
1° 统计 n_j	790	1023	850	656	329	245	122	81	
2° 计算 $P_f(f_j) = n_j / n$	0.19	0.25	0.21	0.16	0.08	0.06	0.03	0.02	$n=4096$
3° 计算 $C(f)$	0.19	0.44	0.65	0.81	0.89	0.95	0.98	1.00	
4° 求 $\lfloor 7C(f) + 0.5 \rfloor$	1	3	5	6	6	7	7	7	
5° 计算 n_i	790	1023	850	985			448		
6° 计算 $P_g(g_i) = n_i / n$	0.19	0.25	0.21	0.24			0.11		
7° 映射关系 $f_j \rightarrow g_i$	0→1	1→3	2→5	3,4→6			5,6,7→7		

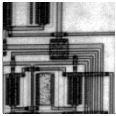
 HIT-Visual Intelligence Lab

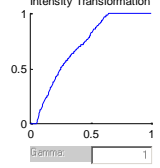


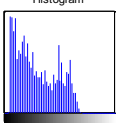
哈尔滨工业大学
HARBIN INSTITUTE OF TECHNOLOGY

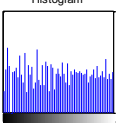
灰度变换——直方图均衡化 97

Select an Image:
Circuit


Equalized Image



Intensity Transformation


Histogram


Histogram


Operations:
Histogram Equalization
+ Brightness - Brightness
+ Contrast - Contrast
+ Gamma - Gamma
Info Close


 HIT-Visual Intelligence Lab

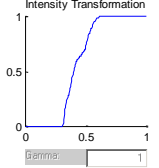


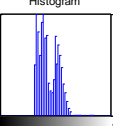
哈尔滨工业大学
HARBIN INSTITUTE OF TECHNOLOGY

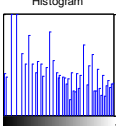
灰度变换——直方图均衡化 98

Select an Image:
Pout


Equalized Image


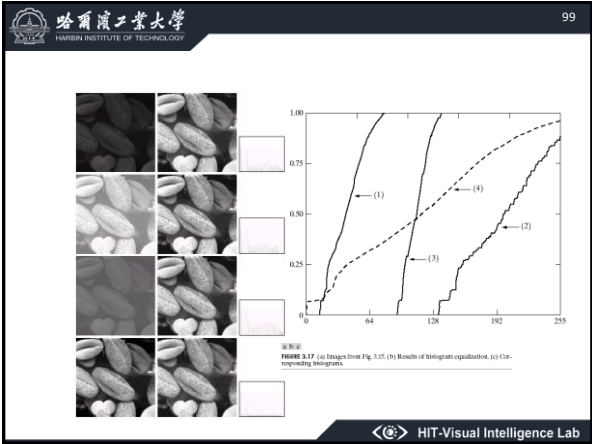
Intensity Transformation


Histogram


Histogram


Operations:
Histogram Equalization
+ Brightness - Brightness
+ Contrast - Contrast
+ Gamma - Gamma
Info Close

 HIT-Visual Intelligence Lab



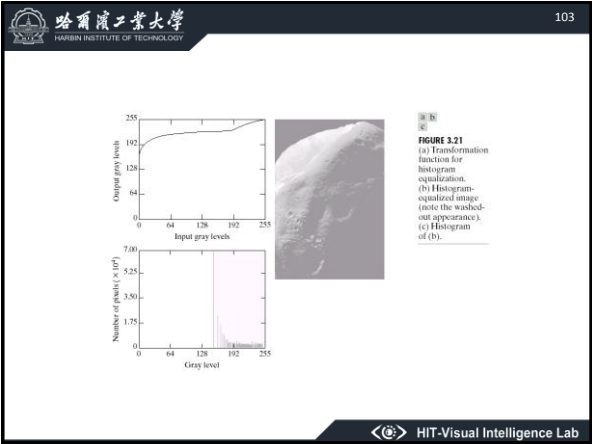
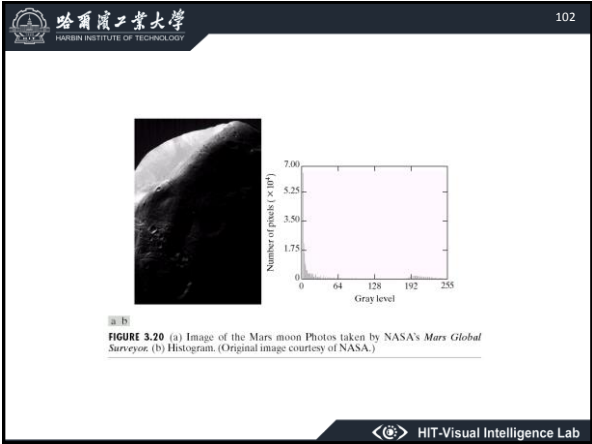
哈尔滨工业大学
HARBIN INSTITUTE OF TECHNOLOGY

100

直方图均衡化的实质是减少图像的灰度等级，以换取对比度的加大。

直方图均衡化的特点是能自动地增强整个图像的对比度，但它的具体增强效果不易控制，处理的结果总是得到全局均衡化的直方图。实际中有时需要变换直方图使之成为某个特定形状，从而有选择地增强某个灰度值范围内的对比度。——→直方图规定化（有可能获得比直方图均衡化更好的效果）。

HIT-Visual Intelligence Lab



哈尔滨工业大学
HARBIN INSTITUTE OF TECHNOLOGY

104

直方图规定化 (Histogram matching/specification)

令原始图像转换成期望输出图像的具有人为规定的直方图。

设原始图像直方图为 $P_f(f_j)$ ；输出图像期望有直方图 $P_z(Z_i)$ ，且假定 f_j 、 Z_i 的取值区间处于相同范围。

直方图规定化的过程可以概括如下：

HIT-Visual Intelligence Lab

哈尔滨工业大学
HARBIN INSTITUTE OF TECHNOLOGY

105

1° 分别对 $P_f(f_j)$ 、 $P_z(Z_i)$ 作均衡化处理

$f_j \rightarrow g_m, Z_i \rightarrow y_n$, g_m 、 y_n 的直方图都应当近似均匀分布。

在取值范围内 $g_m \approx y_n$ 处，将两次均衡结果组合在一起。


2° 把两次映射组合成一个函数，使 $P_f(f_j)$ 变换成 $P_z(Z_i)$ ，
 $P_f(f_j) \rightarrow P_z(z_i)$

记 $g_m = T(f_j)$, $y_n = G(Z_i)$

在 $g_m \approx y_n$ 处， $Z_i = G^{-1}[T(f_j)]$ ，由此可使 $P_f(f_j) \rightarrow P_z(z_i)$

注意：这一变换对数字图像来说是近似的。规定的和最后算得的直方图之间存在一定的误差。灰度级较少时，这种误差更趋增强。虽然是近似的，在实际应用中仍能收到有用的增强效果。

HIT-Visual Intelligence Lab



哈尔滨工业大学
HARBIN INSTITUTE OF TECHNOLOGY

106

1° 统计 n_j

2° 计算 $P_j(f_j) = n_j / n$

3° 计算 $C(f) = \sum_{j=0}^k P_j(f_j)$

4° 映射 $g_m = \lceil 7C(f) + 0.5 \rceil$

规定 z_i

规定 $P_z(Z_i)$


5° 计算 $C(z) = \sum_{i=0}^k P_z(Z_i)$


6° 映射 $y_n = \lceil 7C(z) + 0.5 \rceil$

7° 查找映射对应关系($g_m \approx y_n$ 处) $f_j \rightarrow Z_i$

8° 映射变换后得到的 $P_z(Z_i)$

	0	1	2	3	4	5	6	7
1° 统计 n_j	790	1023	850	656	329	245	122	81
2° 计算 $P_j(f_j) = n_j / n$	0.19	0.25	0.21	0.16	0.08	0.06	0.03	0.02
3° 计算 $C(f) = \sum_{j=0}^k P_j(f_j)$	0.19	0.44	0.65	0.81	0.89	0.95	0.98	1.00
4° 映射 $g_m = \lceil 7C(f) + 0.5 \rceil$	1	3	5	6	6	7	7	7
规定 z_i								
规定 $P_z(Z_i)$					0.15	0.20	0.30	0.20
5° 计算 $C(z) = \sum_{i=0}^k P_z(Z_i)$					0.15	0.35	0.65	0.85
6° 映射 $y_n = \lceil 7C(z) + 0.5 \rceil$					1	2	5	6
7° 查找映射对应关系($g_m \approx y_n$ 处) $f_j \rightarrow Z_i$	0 \rightarrow 3	1 \rightarrow 4	2 \rightarrow 5	3,4 \rightarrow 6	5,6,7 \rightarrow 7			
8° 映射变换后得到的 $P_z(Z_i)$		0.19	0.25	0.21	0.24	0.11		

 HIT-Visual Intelligence Lab

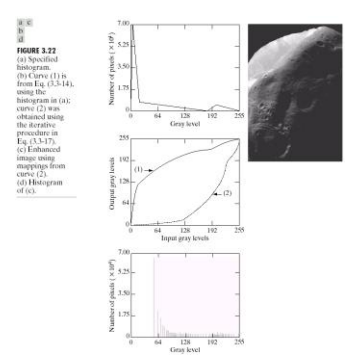



哈尔滨工业大学
HARBIN INSTITUTE OF TECHNOLOGY


107

图 3.32
(a) 直方图
(b) 曲线
(c) 映射
(d) 映射后的直方图

FIGURE 3.32
(a) Spectral histogram
(b) Curve (1) is from Eq. (3.3-14), using the histogram in (a); curve (2) was obtained using the iterative procedure in Eq. (3.3-17).
(c) Enhanced image using mappings from curve (2).
(d) Histogram of (c).



 HIT-Visual Intelligence Lab



哈尔滨工业大学
HARBIN INSTITUTE OF TECHNOLOGY


108

输出图像灰度密度数学模型

转 移 函 数

$$p_g(g) = \frac{1}{g_{\max} - g_{\min}}, g_{\max} \leq g \leq g_{\min}$$
$$p_g(g) = 2 \exp[-\alpha(g - g_{\min})], g \geq g_{\min}$$
$$p_g(g) = \frac{g - g_{\min}}{\alpha^2} \exp[-\frac{(g - g_{\min})^2}{2\alpha^2}], g \geq g_{\min}$$
$$p_g(g) = \frac{1}{3} [\frac{g^{-2/3}}{g_{\max}^{1/3} - g_{\min}^{1/3}}]$$
$$p_g(g) = \frac{1}{g[\ln(g_{\max}) - \ln(g_{\min})]}$$

$$g = [g_{\max} - g_{\min}]C(f) + g_{\min}$$
$$g = g_{\min} - \frac{1}{2} \ln[1 - C(f)]$$
$$g = g_{\min} + [2\alpha^2 \ln(\frac{1}{1 - C(f)})]^{1/2}$$
$$g = [g_{\max}^{1/3} - g_{\min}^{1/3}] + [2\alpha^2 \ln(\frac{1}{1 - C(f)})]^{1/2}$$
$$g = g_{\min} [\frac{g_{\max}}{g_{\min}}]^{C(f)}$$

 HIT-Visual Intelligence Lab

17